

Cancellazione divergenze IR a tutti gli ordini

[W1]

- È davvero notevole il fatto che in QED si riescano
- a calcolare i contributi dominanti delle emissioni di fotoni soffici reali e virtuali a tutti gli ordini perturbativi,
 - a sommare tutti questi contributi in una semplice forma esponenziale, e quindi
 - a dimostrare la cancellazione delle divergenze IR per l'intera serie perturbativa.

A questo proposito seguiamo il metodo di Weinberg
(Phys. Rev. 140 B (1965) p. 516) → Peskin Schröder 6.5
Muta 6.2

Consideriamo un'ampiezza di transizione $M_{\beta\alpha}^{(0)}$ che non coinvolge fotoni soffici, né tra le particelle esterne, né tra i quanti virtuali all'interno dei rispettivi diagrammi di Feynman.

Quello che vogliamo fare è

- determinare $M_{\beta\alpha}$, cioè l'ampiezza che include fotoni virtuali soffici

- $\frac{d\sigma_{\beta\alpha}(\Delta)}{d\Phi_{\beta}}$, cioè la sezione d'urto del processo $\alpha \rightarrow \beta + (\text{fotoni soffici con energia totale} < \Delta)$

Precisiamo cosa intendiamo per fotoni soffici virtuali: W2
 intendiamo fotoni virtuali la cui energia è minore
 di un certo valore Λ che funge da separatore tra
 ciò che consideriamo "soffice" e ciò che consideriamo
 "duro". P.es. $\Lambda^2 \ll m_e^2, |P_i \cdot P_j|, |q_i|^2$ interni, ecc.

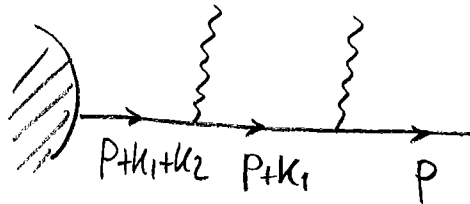
Quindi $M_{\beta\alpha}^{(0)}(\Lambda)$ dipende da Λ .

Abbiamo già visto che, quando "attacciamo" un
 fotone soffice ad una gamba on-shell di impulso P_e , $M_{\beta\alpha}$
 si modifica per l'aggiunta di un fattore di inserzione
 soffice $M \rightarrow M \times e e m_e \frac{P_e \cdot \epsilon_{k,\lambda}}{P_e \cdot k + i m_e 0} : \begin{cases} e_e = \text{carica elettrica} \\ m_e = +1 \text{ (uscite)} \\ -1 \text{ (entrate)} \end{cases}$

Invece, se attacchiamo un fotone soffice ad una gamba
 off-shell con $P_e^2 \neq m_e^2$, non si genera un fattore
 divergente per $k \rightarrow 0$.

Tuttavia bisogna prestare un po' di cautela quando
 attacchiamo più di un fotone soffice (reale o
 virtuale che sia) ad una stessa gamba esterna.

Nel caso in cui ci siano 2 fotoni soffici
 k_1, k_2 emessi da un elettrone che termina con
 un impulso P , troviamo la struttura di Dirac



$$\begin{aligned}
 & \bar{u}(P) (-ie\gamma^{\mu_1}) \frac{i(\hat{P} + \hat{k}_1 + m)}{(P+k_1)^2 - m^2} (-ie\gamma^{\mu_2}) \frac{i(\hat{P} + \hat{k}_1 + \hat{k}_2 + m)}{(P+k_1+k_2)^2 - m^2} \\
 & \approx e^2 \bar{u}(P) \frac{\gamma^{\mu_1}(\hat{P} + m)}{2P \cdot k_1} \gamma^{\mu_2}(\hat{P} + m) \frac{1}{2P \cdot (k_1 + k_2)}
 \end{aligned}$$

in cui abbiamo trascurato i termini k_i nei
numeratori ed i termini quadratici $k_i^2, k_i \cdot k_j$
nei denominatori.

W3

Anticommutando le matrici di Dirac $\{\gamma^\mu, \hat{p}\} = 2p^\mu$
e sfruttando la relazione $\bar{u}(p)(\hat{p} - m) = 0$ troviamo
un semplice fattore $2p^{\mu_1} \cdot 2p^{\mu_2}$ che moltiplica $\bar{u}(p)$
nel numeratore.

Prendendo in conto del denominatore otteniamo il fattore
di inserzione

$$\frac{e p^{\mu_1}}{p \cdot k_1} \frac{e p^{\mu_2}}{p \cdot (k_1 + k_2)}$$

A questa configurazione va aggiunta quella in cui
prima è emesso k_1 e poi k_2 , che produce un fattore
di inserzione analogo al precedente con $k_1 \leftrightarrow k_2$.

Sommando i due termini otteniamo la "corrente" di
emissione di 2 fotoni siffici

$$e^2 p^{\mu_1} p^{\mu_2} \left(\frac{1}{p \cdot k_1} + \frac{1}{p \cdot k_2} \right) \frac{1}{p \cdot (k_1 + k_2)} = e^2 p^{\mu_1} p^{\mu_2} \frac{p \cdot (k_1 + k_2)}{p \cdot k_1 p \cdot k_2} \cdot \frac{1}{p \cdot (k_1 + k_2)}$$
$$= \frac{e p^{\mu_1}}{p \cdot k_1} \frac{e p^{\mu_2}}{p \cdot k_2} = J_w^{\mu_1}(p) J_w^{\mu_2}(p)$$

I due contributi si combinano per dare due fattori
di emissione singoli! Questo fatto descrive (ed è
conseguenza) della indipendenza delle due emissioni,
cioè in pratica i due fotoni sono emessi in modo
indipendente, l'emissione dell'uno non influenza l'altra.

Questa notevole proprietà persiste nell'emissione /WA
di un numero arbitrario di fotoni.

Ciò è vero se i fotoni sono emessi da gambe diverse.

Se invece abbiamo N fotoni emessi dalla stessa
gamba, p.es. uscente, abbiamo

$$\begin{array}{c} \text{Diagram: A horizontal line with a wavy arrow on the left. Above the line, from left to right, are curly braces labeled } k_n, k_2, k_1. \text{ Below the line, from left to right, are labels } p+k_1+\dots+k_n, p+k_1+\dots+k_{n-1}, p+k_1+k_2, p+k_1, \text{ and } p. \text{ A double lightning bolt symbol is between } p+k_1+\dots+k_{n-1} \text{ and } p+k_1+k_2. \end{array} \rightsquigarrow \frac{e^n p^{\mu_1} \dots p^{\mu_n}}{p \cdot k_1 \ p \cdot (k_1+k_2) \ \dots \ p \cdot (k_1+\dots+k_n)}$$

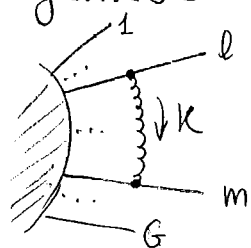
Anche in questo caso dobbiamo sommare sulle $n!$
configurazioni ottenute permutando gli n fotoni.

La formula notevole che ci semplifica drasticamente
le vite, nota come IDENTITÀ ICONALE, asserisce che

$$\sum_{\text{permutazioni } \sigma} \frac{1}{p \cdot k_{\sigma_1} \ p \cdot (k_{\sigma_1} + k_{\sigma_2}) \ \dots \ p \cdot (k_{\sigma_1} + \dots + k_{\sigma_N})} = \frac{1}{p \cdot k_1} \frac{1}{p \cdot k_2} \ \dots \ \frac{1}{p \cdot k_N}$$

che si può dimostrare per induzione su N , essendo
già verificata per $N=2$.

Iniziamo considerando un fotone virtuale di impulso k collegato a due gambe esterne di impulso p_l e p_m distinte ($l \neq m$) di un certo diagramma con G gambe esterne; la cui ampiezza è $M_{\beta\alpha}^{(0)}$:

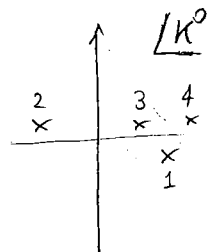


$$i = M_{\beta\alpha}^{(0)} \cdot \int \frac{C_l M_l p_l^\mu}{p_l \cdot k + iM_l 0} \cdot \frac{-i g_{\mu\nu}}{k^2 - k^2 + i0} \cdot \frac{C_m M_m p_m^\nu}{p_m \cdot (-k) + iM_m 0} d^4 k$$

$$= M_{\beta\alpha}^{(0)} (+i) \frac{C_l C_m M_l M_m}{(2\pi)^4} \int \frac{d^4 k d^3 \vec{k}}{[k^0 - (\omega_k - i0)][k^0 + (\omega_k + i0)][E_l k^0 - \vec{k} \cdot \vec{p}_l + iM_l 0][E_m k^0 - \vec{k} \cdot \vec{p}_m - iM_m 0]}$$

4 poli: $k^0 = \omega_k - i0$, $-\omega_k + i0$, $\frac{\vec{k} \cdot \vec{p}_l}{E_l} - iM_l 0$, $\frac{\vec{k} \cdot \vec{p}_m}{E_m} + iM_m 0$

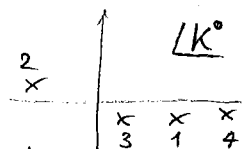
Se l è entrante ($M_l = -1$) ed m è uscente ($M_m = +1$) solo il 1° polo è sotto l'asse reale. Chiudo sotto:



$$\Rightarrow M_{\beta\alpha}^{(0)} \cdot C_l C_m M_l M_m \int \tilde{d}k \frac{p_l \cdot p_m}{p_l \cdot k p_m \cdot k} \in \mathbb{R}$$

il nostro amico $\frac{1}{(2\pi)^2} \int_1^\infty \frac{d\omega_k}{\omega_k} \int \frac{d^3 \vec{k}}{4\pi} \frac{p_l \cdot p_m}{p_l \cdot \frac{\vec{k}}{\omega} p_m \cdot \frac{\vec{k}}{\omega}} = \frac{1}{2(2\pi)^2} \ln \frac{1}{1} \frac{1}{\beta_{lm}} \ln \frac{1+\beta_{lm}}{1-\beta_{lm}}$

Lo stesso identico risultato si trova se l è uscente ed m entrante chiudendo stavolta nel semipiano superiore



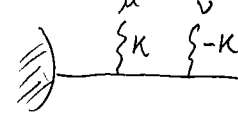
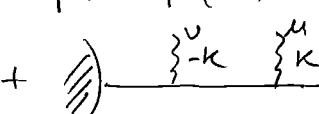
Se invece l ed m sono entrambi uscenti o entranti, non si può evitare il contributo di uno dei poli 3 o 4. Quello che si ottiene è un termine identico al precedente (quindi reale) più un termine aggiuntivo dal polo 3 o 4 che è puramente IMMAGINARIO, e lo indichiamo iC_m con $C_m \in \mathbb{R}$.

Sommando sulle possibili coppie (l, m) di gambe si ha W6

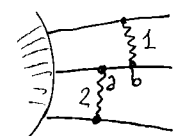
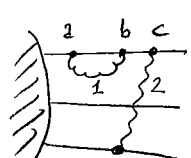
$$M_{\beta\alpha}^{(1)} = M_{\beta\alpha}^{(0)} \cdot \frac{1}{2} \left[\sum_{l,m=1}^G \underbrace{\frac{e_l e_m M_l M_m}{2(2\pi)^2} \frac{1}{\beta_{lm}} \ln \frac{1+\beta_{lm}}{1-\beta_{lm}} \ln \frac{1}{\lambda}}_{-A : A > 0} + i \underbrace{\sum_{l,m} C_{lm}}_{C} \right]$$

Il fattore $\frac{1}{2}$ ci vuole perché

- se $l \neq m$ nella somma stiamo contando due volte $(l < m) + (l > m)$ lo stesso diagramma virtuale

- se $l = m$ c'è un unico termine nella somma, ma il fatto di avere usato $\frac{p^\mu}{p \cdot k} \cdot \frac{p^\nu}{p \cdot (-k)}$ include i due contributi  + 

mentre per includere  ne basta uno solo.

Se ci sono 2 fotoni virtuali sufficienti abbiamo diagrammi del tipo  ,  ecc,

In tutti i casi bisogna sommare su tutti diagrammi ottenuti permutando i punti sulle stesse gambe (a, b, c, \dots) e così facendo si generano i fattori di inversione indipendenti $\frac{p^{\mu_1}}{p \cdot k_1} \frac{p^{\mu_2}}{p \cdot k_2} \dots$ su ogni gamba, che possono quindi essere contratti mediante i propagatori $\frac{-i g_{\mu\nu}}{k^2 - \delta^2}$ per ogni fotone. In definitiva, abbiamo

$$M_{\beta\alpha}^{(2)} = M_{\beta\alpha}^{(0)} \left[\frac{1}{2} \sum_{l,m} \int \frac{d^4 k_1}{(2\pi)^4} \frac{-i g_{\mu\nu}}{k_1^2} \frac{e_l M_l p_l^\mu}{p_l \cdot k_1} \frac{e_m M_m p_m^\nu}{p_m \cdot (-k_1)} \right] \left[\frac{1}{2} \sum_{l,m} \int \frac{d^4 k_2}{(2\pi)^4} \frac{-i g^{\alpha\beta}}{k_2^2} \dots \right] \cdot \frac{1}{2!}$$

$$= M_{\beta\alpha}^{(0)} \cdot \frac{1}{2!} \left[-\frac{1}{2} A \ln \frac{1}{\lambda} + i \frac{C}{2} \right]$$

In questo modo abbiamo tenuto in conto tutti i modi $\lfloor W \rfloor$ in cui il fotone k_1 si può attaccare alle gambe esterne, e anche tutti i modi con cui si può attaccare il fotone k_2 .

Euttavia, siccome i fotoni sono indistinguibili, stiamo contando due volte ogni configurazione, p. es.

$$\left(\text{diagramma 1} \right)_2 + \left(\text{diagramma 2} \right)_1, \text{ da cui la necessità del fattore } \frac{1}{2!}$$

Ragionando in modo analogo, l'ampiezza con N fotoni virtuali attaccati in tutti i modi alle gambe esterne è data da N prodotti identici di attaccare ciascun fotone, ricordando il fattore di simmetria $\frac{1}{N!}$ dovuto all'indistinguibilità dei fotoni.

In conclusione

$$M_{\beta\alpha}^{(N)} = M_{\beta\alpha}^{(0)} \frac{1}{N!} \left[-\frac{1}{2} A \ln \frac{\Lambda}{d} + i \frac{C}{2} \right]^N \text{ e, sommando su } N,$$

troviamo l'ampiezza rivestita di tutti i fotoni virtuali virtuali.

$$M_{\beta\alpha}^{(0)} = M_{\beta\alpha}^{(0)} e^{-\frac{1}{2} A \ln \frac{\Lambda}{d}} e^{i \frac{C}{2}}$$

Per il calcolo della sezione d'urto, ci serve

$$|M_{\beta\alpha}|^2 = |M_{\beta\alpha}^{(0)}|^2 e^{-A \ln \frac{\Lambda}{d}} = |M_{\beta\alpha}^{(0)}|^2 \left(\frac{d}{\Lambda} \right)^A \text{ e } C \text{ sparisce.}$$

Vediamo quindi come le correzioni virtuali, divergenti ordine per ordine nella serie perturbativa, si siano combinate per fornire un risultato finito.

Ma attenzione: per $d \rightarrow 0$ $|M_{\beta\alpha}|^2 \rightarrow 0$, cioè la sezione d'urto si annulla!

Questo è l'effetto dei fotoni virtuali soffici:
sopprimere la sezione d'urto.

/W8

È a ben vedere, questo risultato è sensato:
la probabilità che avvenga un processo di diffusione
tra particelle cariche senza emissione di fotoni soffici
è zero.

Passiamo quindi ad includere le

EMISSIONI REALI

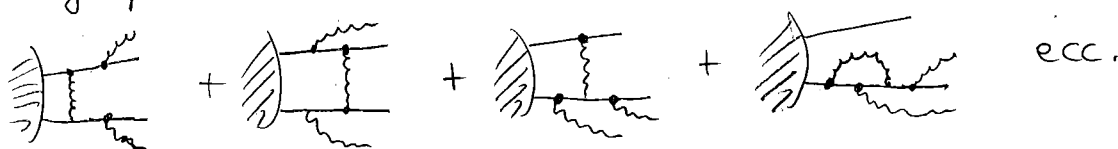
È chiaro a questo punto che l'ampiezza per emettere
 N fotoni soffici $k_1 \dots k_N$ in aggiunta a tutte le
correzioni virtuali ed $M_{\beta\alpha}^{(0)}$ è

$$M_{(k_1 \dots k_N)\beta\alpha} = M_{\beta\alpha} \prod_{j=1}^N \sum_{l=1}^G \frac{e_e m_l p_l^\mu \cdot \epsilon^*(k_j)}{p_l \cdot k_j}$$

in cui ogni fotone k_j può essere emesso da ciascuna
delle particelle dure p_l .

Osserviamo che avere usato un fattore di inserzione $\frac{p^\mu}{p \cdot k}$
per ogni fotone significa che stiamo permutando
su tutti gli ordinamenti dei punti di emissione nelle
varie gambe, sia per emissioni reali che soffici.

Graficamente, stiamo tenendo in conto i diagrammi



Per il calcolo della sezione d'urto differenziale nelle
sole particelle dure, $\frac{d\sigma_{\beta\alpha}}{d\Phi_\beta}$, dobbiamo:

- Fare il modulo quadro dell'ampiezza per ogni configurazione delle particelle finali
- Sommare sulle polarizzazioni dei fotoni soffici (in quanto essi non vengono osservati)
- Integrare sullo spazio delle fasi dei fotoni soffici
- Sommare sul numero di fotoni soffici emessi.

→ La somma sulle polarizzazioni di ciascun fotone soffic

(coinvolge $\sum_{\lambda} P_e^{\mu} \tilde{E}_{\mu}(k_j) E_{\nu}(k_j) P_m^{\nu} = -P_e \cdot P_m$

avendo sfruttato la conservazione della corrente di Weinberg

$J_w^{\mu}(k) = \sum_l \frac{e_l m_l P_l^{\mu}}{P_l \cdot k}$ che ci permette di rimpiazzare

$\sum_{\lambda} \tilde{E}_{\mu}(k) E_{\nu}(k) \rightarrow -\delta_{\mu\nu} \Rightarrow |M \prod_j \sum_e|^2 = |M|^2 \prod_j \sum_e \sum_m^*$
 $= |M|^2 \prod_j \sum_{em} \frac{-e_l e_m m_l m_m P_l \cdot P_m}{P_l \cdot k_j P_m \cdot k_j}$

→ L'integrazione sullo spazio delle fasi di N fotoni soffici è un po' delicata. Potremmo richiedere che ciascun fotone abbia energia $\omega_j < \Delta$ risoluzione dei rivelatori.

Ma con tanti fotoni, $N \gg 1$, può succedere che l'energia trasferita ai fotoni soffici $E_{soff} \sim N \cdot \Delta$ costituisca una frazione consistente dell'energia totale del sistema, e quindi l'approssimazione che le particelle dure finali P_i siano indisturbate dai fotoni soffici verrebbe a cadere.

È più ragionevole imporre la condizione che la somma 10 delle energie dei fotoni soffici emessi non superi una certa soglia Δ .

Vogliamo quindi integrare la seguente quantità:

$$\frac{1}{N!} \int \tilde{\mathcal{K}}_1 \tilde{\mathcal{K}}_2 \dots \tilde{\mathcal{K}}_N \Theta(\Delta - \sum_{j=1}^N \omega_j) |M_{\beta\alpha}|^2 \prod_{j=1}^N \sum_{\ell m} \frac{-e_\ell e_m M_\ell M_m P_\ell \cdot P_m}{(P_\ell \cdot K_j)(P_m \cdot K_j)}$$

in cui abbiamo incluso il fattore di simmetria $1/N!$

La presenza della Θ rompe la fattorizzazione dell'integrale.

Per ottenere N integrali indipendenti sfruttiamo la rappresentazione

$$\Theta(\Delta - \omega) = \int_{-\infty}^{+\infty} \frac{dx}{-2\pi i} \left[\underbrace{e^{-i(\Delta - \omega)x}}_{\Theta} - \underbrace{e^{i(\Delta + \omega)x}}_{0 \text{ perché } \Delta + \omega > 0 \quad \forall \Delta, \omega > 0} \right] = \int \frac{dx}{\pi} \frac{\sin(\Delta x)}{x} e^{i\omega x} \quad (1)$$

In ogni integrale compare il fattore $e^{i\omega_j x}$, quindi gli N integrali sono uguali tra loro:

$$\Rightarrow |M_{\beta\alpha}|^2 \int \frac{dx}{\pi} \frac{\sin(\Delta x)}{x} \cdot \frac{1}{N!} \left[- \sum_{\ell m} e_\ell e_m M_\ell M_m \int \tilde{\mathcal{K}} e^{i\omega x} \frac{P_\ell \cdot P_m}{P_\ell \cdot K \quad P_m \cdot K} \right]^N$$

in cui lo imposto che anche l'energia del singolo fotone non superi la soglia Δ .

Ci ricordiamo che $\int \tilde{\mathcal{K}}$ diverge per $\omega_k \rightarrow 0$, ma il fattore esponenziale ci complice l'integrale in ω_k .

Allora lo dividiamo in due termini:

$$e^{i\omega x} = 1 + (e^{i\omega x} - 1) \quad \begin{matrix} \swarrow \text{da le div IR} \quad \int_0^\Delta \frac{d\omega}{\omega} = \ln \frac{\Delta}{\Lambda} \quad \parallel \quad \int_0^\Delta \frac{d\omega}{\omega} (e^{i\omega x} - 1) = \int_0^\Delta \frac{d\omega}{\omega} (e^{i\omega x} - 1) \end{matrix}$$

è $O(\omega)$ e dà un contributo IR finito.

Entrambi i termini moltiplicano il solito integrale angolare funzione di $\beta_{\ell m}$, e nella somma $-\sum_{\ell m} e_\ell e_m \dots$ riproducono la precedente quantità A definita nel virtuale

Quindi il modulo quadro dell'ampiezza integrato su N fotoni soffici con $\sum \omega_i < \Delta$ è

$$|M_{(\beta N)\alpha}|^2 = |M_{\beta\alpha}|^2 \int_{-\infty}^{+\infty} \frac{dx}{\pi} \frac{\sin(\Delta x)}{x} \frac{1}{N!} A^N \left[\ln \frac{\Delta}{\lambda} + \int_0^{\Delta} \frac{d\omega}{\omega} (e^{i\omega x} - 1) \right]^N$$

e, sommando su N da 0 ad ∞ riproduciamo anche per l'emissione reale una serie esponenziale, il cui esponente ha 2 termini:

- uno contiene il logaritmo divergente $\ln R$
- l'altro contiene una funzione regolare di Δ e x , da integrare in x .

In conclusione

$$\begin{aligned} |M_{(\gamma_{\text{soft}} \beta)\alpha}|^2 &= |M_{\beta\alpha}|^2 e^{A \ln \frac{\Delta}{\lambda}} \int \frac{dx}{\pi} \frac{\sin(\Delta x)}{x} \exp \left\{ A \int_0^{\Delta} \frac{d\omega}{\omega} (e^{i\omega x} - 1) \right\} \\ &=: |M_{\beta\alpha}|^2 \underbrace{\left(\frac{\Delta}{\lambda} \right)^A \int_{-\infty}^{+\infty} \frac{dt}{\pi} \frac{\sin t}{t} \exp \left\{ A \int_0^1 \frac{d\omega}{\omega} (e^{i\omega t} - 1) \right\}}_{b(A) \text{ funzione solo di } A} \end{aligned}$$

Poiché $A > 0$, vediamo che nel limite $\lambda \rightarrow 0$ la probabilità di emissione reale diverge, tendendo a $+\infty$.

Ricordando l'espressione di $|M_{\beta\alpha}|^2 = |M_{\beta\alpha}^{(0)}|^2 \left(\frac{\Delta}{\Lambda}\right)^A$ che include tutte le correzioni virtuali, otteniamo la probabilità di emissione completa

$$|M_{(\gamma_{\text{soft}}\beta)\alpha}|^2 = |M_{\beta\alpha}^{(0)}|^2 \left(\frac{\Delta}{\Lambda}\right)^A \left(\frac{\Delta}{\Delta}\right)^A b(A) \\ = |M_{\beta\alpha}^{(0)}|^2 \left(\frac{\Delta}{\Lambda}\right)^A b(A)$$

in cui divergenze virtuali e reali si compensano per dare un risultato finito e definito positivo.

OSSERVAZIONI :

- Nel limite $\Delta \rightarrow 0$ $\frac{d\sigma_{\beta\alpha}}{d\Phi_{\beta}} = \frac{d\sigma_{\beta\alpha}^{(0)}}{d\Phi_{\beta}} \left(\frac{\Delta}{\Lambda}\right)^A b(A)$

tende a zero restando positive, e risolvendo così il problema che si presentava ad $O(\alpha)$

- $\frac{d\sigma_{\beta\alpha}}{d\Phi_{\beta}}$ non dipende dal parametro arbitrario Λ , in quanto anche $\frac{d\sigma_{\beta\alpha}^{(0)}}{d\Phi_{\beta}}$ dipende da Λ in modo da cancellare la dipendenza delle $d\sigma_{\beta\alpha}$ complete.

- Le formule che abbiamo trovato predice la dipendenza da Δ delle $d\sigma_{\beta\alpha}$ per tutti i valori di Δ da 0 ad un Δ_{max} , che deve essere molto più piccolo delle energie o delle masse che caratterizzano il processo $\alpha \rightarrow \beta$.